- (2) 还原 Cr⁶⁺ 的光催化剂配比为 WO₃: W;α-Fe₂O₃ = 66.66:10:23.34.
- (3) 催化剂量以每 100 毫升 Cr⁶⁺ 试液 (浓度为 80 毫克/升) 用 0.2 克为宜,光照时间以三小时为官。

参 考 文 献

[1] A. Fujishima, K. Honda, Nature, 238(5358),

37(1972).

- [2] M. Miyake, H. Yoneyama, H. Tamura, Bull. Chem, Soc. Ipn, 50(6), 1492 (1977).
- [3] H. Yoneyama, Y. Yamashita and H. Tamura; Nature, 282 (5741), 817 (1979).
- [4] 韩英哲、文学洙、裴文、金永哲。化学世界,24(3),67(1983)。
- [5] 川合知二 坂田忠良,现代化学,通卷118号, 1期, 54页(1981)。

18F 在罗非鱼体内的行为*

吴增新 曹维勤 刘 明 (北京市环境保护科学研究所)

何欣若 范广誉 白素珍(中国科学院原子能研究所)

氟是生物必需的微量元素,但过量会对生物造成危害。 环境中氟污染的研究 和 氟在有机体内行为的研究,日益受到人 们的 重视^[1-4]。

"F 用于人体及陆生动物代谢过程的示踪观察已见有报道"5-7"。而以水生生物为对象进行体内行为的研究迄今尚未见报道。我们开展了"F 在罗非鱼体内行为的实验研究,这对制定食用鱼氟化物卫生标准和水体排放标准,对含氟水体的渔业管理,都有一定的参考意义。同时,为了解氟对鱼体的影响也提供了一定依据。

一、材料与方法

1. 材料

- (1) ¹⁸F 示踪剂 ¹⁸F 是一种发射正电子的短半衰期(109.7 分钟)放射性核素,湮没辐射 r 射线,能量为 0.511 Mev. 中国科学院原子能研究所用光谱纯 LiCO₃ 作靶子,在反应堆中经热中子照射,利用二次核反应,制得无载体 Na¹⁸F 溶液.
 - (2) 试验鱼 罗非鱼(Tilapia) 由北京昌

平县水产养殖场提供。每批试验鱼平均体重分别为: 体表给药组 60 克,全身给药组 64 克,分布测定组 91 克,释放试验注射 1.5 微居里 "F组为 150 克,注射 75 微居里 "B 组为 186 克.

2. 试验方法

(1) 摄取试验

将三尾鱼放人含有 300 微居里 ¹⁸F3 升水中(全身给药)或将三尾鱼挂在支架上,使鳃以下的鱼体浸入(体表给药)含有 300 微居里 ¹⁸F的 3 升水中,1 小时后解剖取样称重测量

(2) 分布试验

按每克体重 0.1 微居里,注射量少于 0.5 毫升 "F,注射于心脏,放入清水中,按不同时间取出,解剖取样。每批次 3 尾鱼。

(3) 释放试验

取鱼 3 尾,每尾注人 1.5 或 75 微居里于心脏,注人后放人 3 升清水中,按不同时间测量水中放射性。

^{*} 参加本工作的还有: 刁国平、董桂芝、张维琴、王英 彦、李清如等同志。

(4) 测量与计算

用 FT-603 井型闪烁探头, FH-190 型单道 γ 谱仪, 测量鱼体组织的放射性。 经过衰变校正后, 计算每克组织的放射性或每克组织的摄取率(%):

$$A_t = \frac{C_t - C_b}{W_t}$$

$$B_t = \frac{C_t - C_b}{W_t (C_s - C_b)} \times 100\%$$

 A_i — 每克组织的放射性(cpm/g);

 B_t ——每克组织的摄取率(%/g);

 C_i ——衰变校正的样品的计数率(cpm);

C,——注入鱼体 ¹⁸F 示 **腙** 剂的 计 数 率 (cpm);

C₆——本底计数率(cpm);

W,——组织温重。

用"钢室屏蔽全身计数器"双探头测量鱼体释放水中的放射性,计算鱼体对 ¹⁸F 的释放率(%):

$$L = \frac{C_w - C_b}{C_s - C_b} \times 100\%$$

*C*_w——鱼体释放到水中 ¹⁸F 的计数率 (cpm);

C, ——18F 标准样品的计数率(cpm);

C, ——本底计数率(cpm).

二、结果与讨论

1. 罗非鱼对 ¹⁸F 的摄取

鱼类能通过口腔、鳃、体表摄取水中的污

染物,并经血液循环转移到角体全身,

表1可以看出,鱼的体表具有摄取水中 "F" 的功能。 可能是因鱼体表面与水接触面 积较大,鳞片具有较强的吸附,通过血液吸收 运至鱼体全身之故。 "F" 含量最高是鳞,其次 为骨骼,软组织最低。鱼体全身接触水体,经 口腔、鳃、体表等途径摄取水中的 "F",体内摄取 "F" 量比体表局部接触要高。这表明 "F" 进人鱼体除体表外,鳃和消化道也是重要摄入途径。 "F" 通过不同途径被鱼体摄取后,"F" 在鱼体分布基本一致,骨骼中的 "F" 明显高于软组织,显示了"F" 的亲骨特性。

2. ¹⁸F 在罗非鱼体内的运转和分布

"F进入鱼体后,主要通过血液循环将"F转运至全身。我们观测了心脏注射"F后,"F从心脏向其他组织运转情况。

表 2 可见,注射后 25 秒和 30 分钟,该部位 ¹⁸F 从 100% 迅速降至 67% 和 8.8%,而鱼体各组织的 ¹⁸F 逐渐增高,这表明心脏通过血液循环迅速运转到鱼体其他组织。各组织动态分布见表 3.

从表 3 可见,氟是具有中等毒性的亲骨元素. 骨骼中 ¹⁶F 含量显著高于其他软组织,由于骨骼结构及功能的差异,骨骼中 ¹⁸F 的累积量并不相同,在达到峰值时,主鳃盖骨为9.67%,脊椎骨为6.44%,头部顶骨为5.68%。

鳃具有与水环境交换气体和物质的功能。静脉血通过鳃动脉注入鳃,其分枝又通

表 1 鱼对 1°F 的摄取 (cpm/g)	表 1	鱼对	$_{18}F$	的穩取	(cpm	/g `)
------------------------	-----	----	----------	-----	------	------	---

					组	织名	称				
染毒方法	染 毒方法 骨 骼				脏	器		其 他			
	主鳃盖骨	鳃软骨	脊椎骨	心	肝	胃	肾	肉	l w	鳞	鳃丝
全身 (C _A)	7380 ±3399	7338 ±2470	6016 ±3028	6359 ±4102	1099 ±282	3367 ±1262	8386 ±6820	761 ±433	454 ±246	10521 ±5438	17858 ±4126
体表 (C _B)	6301 ±5125	1977 ±1010	6255 ±3821	3204 ±2668	264 ±139	1580 ±565	1850 土788	414 士95	299 ±123	24192 士15664	
C _A /C _B	1.17	3.31	0.96	1.98	4.16	2.13	5.31	1.84	1.52	0.44	6.07

表 2 心脏中 18F 的变化

注射后 时间	10(s)	25(s)	40(s)	15(min)	30(min)	4(h)
18F %	100	67.2	57.1	26.0	8.8	2.2

人鳃瓣内缘,并以微血管网分布于鳃的两侧,使鳃瓣充满了血液,因而鳃在注射后几分钟,与血液几乎同时呈现高峰,30分钟后与血液一起很快下降。注射后1小时,鳃的¹⁸F含量逐渐增高。注射后3小时,与骨骼同时出现高峰。这是由于鳃结构除鳃瓣外还具有骨质结构的鳃软骨和鳃靶,¹⁸F能在骨质中浓集,因而鳃的¹⁸F含量较高。

注射后 3 小时, ¹⁸F 在骨骼中含量达到高 峰,且鳞片中含量最高。这是因为鳞不但具 有与其他骨相似的结构,而且具有较大表面 积,吸附作用较强。

肾在注射后 5 分钟,达到 20.3 %,1 小时后降至 1.4 %,3 小时后仅存 0.5 %,显示出肾

脏中 ¹⁸F 含量变化与血液中 ¹⁸F 变化趋势是一致的,并未形成积累,这与肾脏具有排泄功能有关.

心脏注射 ¹⁸F 3 小时后,骨质组织达到峰值. 鱼体组织 ¹⁸F 含量依次为鳞>鳃>主鳃盖骨>脊椎骨>头部顶骨>肝>肾>胃>血>肉>心>脂肪. 鳞、鳃最高,骨骼次之,可食用部分肉和脂肪最低.

3. 鱼对体内 ¹⁸F 的释放

鱼类能将累积于体内的 ¹⁸F 释放到水体中,其试验结果见表 4.

从表 4 可以看出,把经过心脏注射 ¹⁸F 后的鱼立即放入水中,5 分钟内即可观测到水中有 ¹⁸F。表明鱼类能把体内氟释放到水中。释放速度起始较快,而后随时间延长逐渐减慢。 当体内积累量大时,总释放量也较大。心脏注射 ¹⁸F 75 微居里后,4 小时内累计释放量为 26.07%;而心脏注射 ¹⁸F 1.5 微居里

表 3 心脏注射 18F 在鱼体内的动态分布(摄取量%/克组织)

组织名称		注 射 后 时 间									
		5(min)	0.5(h)	1(h)	2(h)	3(h)	4(h)	8(h)			
	主鳃盖骨	2.57	3.75	2.69	5.62	9.67	4.28	3.42			
骨骼	脊椎骨	5.99	2.17	2.73	4.38	6.44	4.14	3.07			
	头部顶骨	-	_	1.65	4.42	5.68	_				
	心脏	32.30	4.21	0.50	0.38	0.23	0.94	1.09			
	肝	6.31	1.26	0.26	0.39	0.51	0.07	0.05			
脏器	胆	0.02	0.06	0.03	0.03	0.07	0.02	0.11			
	胃	5.16	2.39	1.41	0.64	0.38	0.23	0.13			
	肾	20.26	2.19	1.43	1.03	0.45	0.45	0.24			
	肉	0.75	0.16	0.21	0.20	0.31	0.05	0.04			
	脂肪			0.25	0.14	0.10	_	_			
其他	ш́	106.5	8.05	1.95	0.66	0.33	0.09	0.09			
	鳞	2.66	5.39	5.76	9.29	16.51	6.29	6.37			
	鰓	27.65	7.40	7.63	12.88	15.81	8.01	5.38			

表 4 鱼释放到水中 18F 累计百分率(%)

心脏注射后时间		5	15 (n	20 nin)	40	1	1.5	2	2.5 (h)	3	3.5	4
注射 ¹⁸ F 活度 (μCi)	1.5	0.43	1.14	_	_	1.86	2.36	2.74	3.12	3.44	3.90	4.56
	75	8.11	_	8.90	10.41	_	12.11	20.6	53 -	22.79	-	26.07

后,4小时内累计释放量为4.56%。

根据上述试验结果, ¹⁸F 在鱼体内的行为可用下图表示:

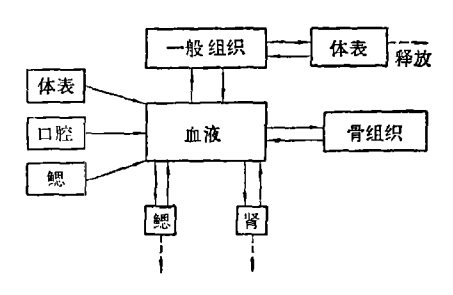


图 1 18F 在鱼体内的行为示意图

三、结 论

- 1. 罗非鱼通过鳃、体表和消化道等途径 可摄入水中的 "F. 试验表明 "F 进人鱼体除 通过体表外,鳃和消化道也是重要的摄入途 径.
- 2. ¹⁸F 被摄人鱼体后,经血液迅速转运, 分布到全身。由于组织结构、功能、生理状态

等差异,不同部位的骨骼和软组织间的含氟量也有差异。鳞中的 ¹⁸F 含量最高,骨质组织如鳃盖骨、脊椎骨、头顶骨等呈明显累积。肝、肾、胃、心等脏器次之,可食用部分肉、脂肪最低。

3. 鱼具有释放体内 "F" 的能力, 鳃、肾的释放能力最强, 体表次之。 摄人量高的, 释放量大、释放速度快。 释放速度起初较快, 随时间的延长逐渐降低。

参考文献

- [1] 丁俊清,中国环境科学,1,77(1981)。
- [2] Marier, J. R., Sci. Total Environ. 8, 253 (1977).
- [3] Spencer, H. et al., Sci. Total Environ. 17, 1 (1981).
- [4] Cooper, P. et al., Toxicol. 17, 87. (1979).
- [5] Carlcon, C. H. et al., Am. J. Physiol., 198, 829 (1960).
- [6] Carlson, C. H. et al., Proc. Soc. Exp. Bial. Mod. 102, 235 (1960).
- [7] Hosking, D. J. et al., Clin. Sci. 42, 153 (1972).

蓟运河下游含汞底泥水力迁移作用的研究

林玉环 康德梦

(中国科学院环境化学研究所)

本文从研究蓟运河下游汞污染底泥的水力迁移作用,探讨汞污染底泥在水力作用下的消散规律,寻求一条通过水力作用达到减轻和消除污染的途径.

对于象汞这样的重金属污染河流,如何 利用自然的有利因素,使污染物质在迁移、转 化过程中由集中变分散,由高毒、大危害的化 学形态转变为低毒、低危害的化学形态,在环 境容量允许的范围内,达到防治的目的,这是 一个正在研究的课题. 蓟运河是一水库式的河道,它在人海口附近建有防潮大闸。在洪水期,闸门开启,让洪水进人渤海湾。 大闸水文站在开闸期间,要进行流量、输沙量测量。本文以大闸作为控制断面,收集悬移泥沙样品,进行含汞量的测量,并利用洪水期监测数据,进行水力迁移量的计算,确定蓟运河下游底质中历年迁移人海的汞量。其次,根据河流流速的实际测量,和历年流量和含沙量的资料,研究了含汞底泥的悬沙规律,考察了蓟运河下游汉沽河